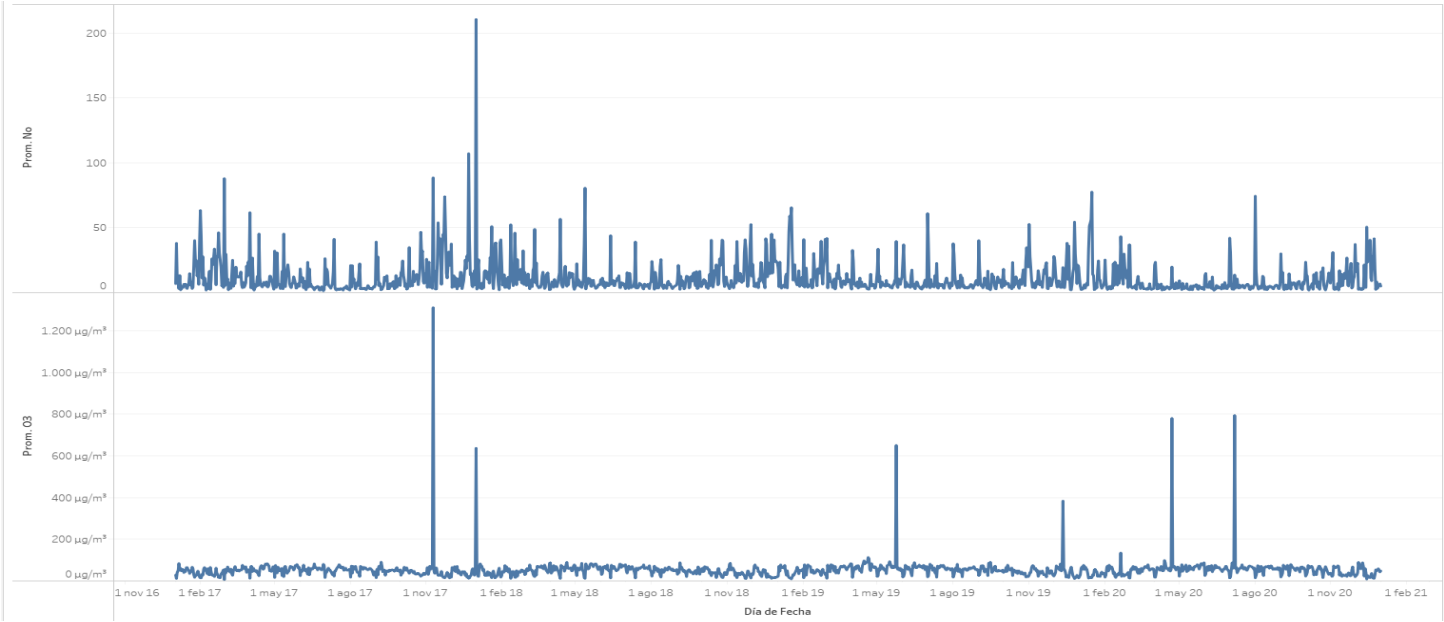
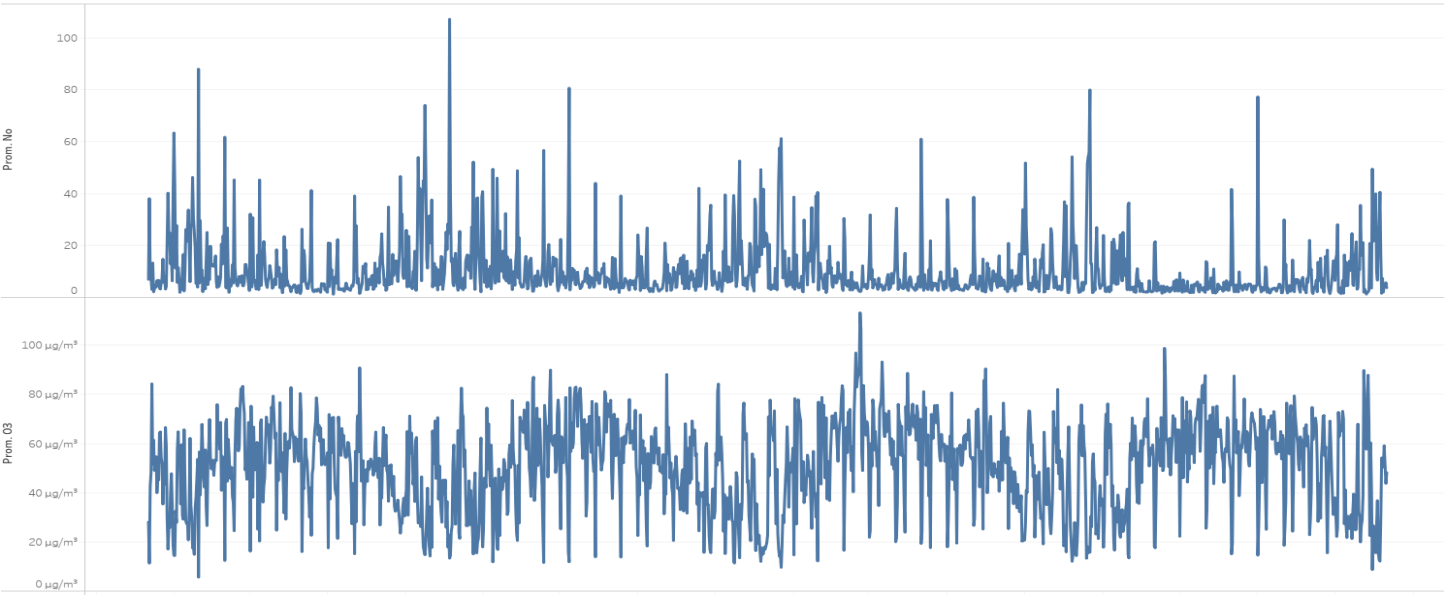


Sección #10 – Limpieza, Procesado y Análisis

Capturas de pantalla del gráfico sin nulos



Detección y limpieza de outliers



Capturas de pantalla de la fórmula:

AlertaO3

IF

{ FIXED DATETRUNC('month', [Fecha]): AVG([O3]) } >= 0.9 * 9

THEN

"ALERTA"

ELSE

" "

END

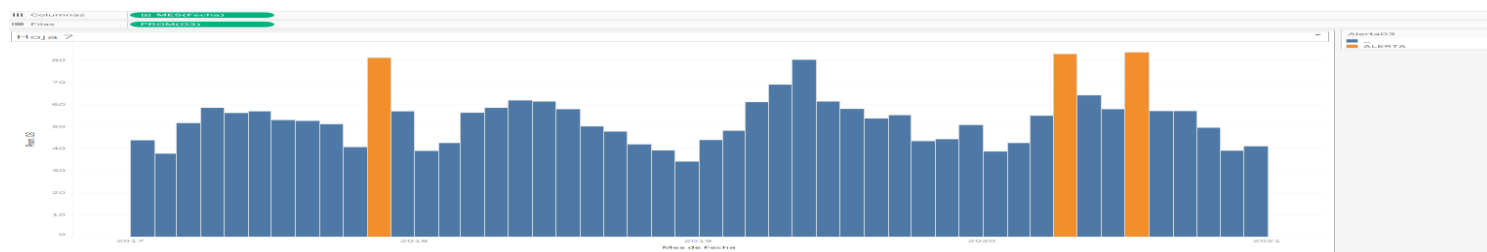
El cálculo es válido.

2 dependencias

Aplicar

Aceptar

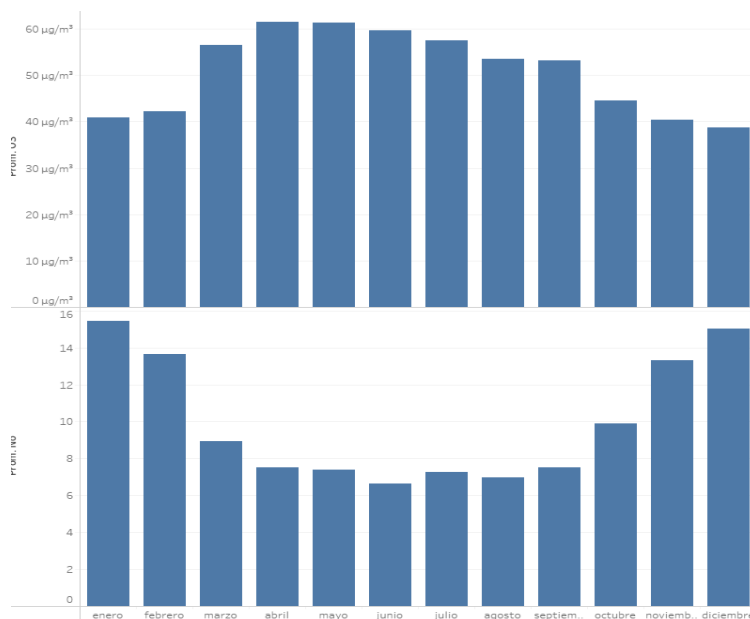
Capturas de pantalla del gráfico de la flag



Capturas de pantalla de la estacionalidad

O3 (Ozono):

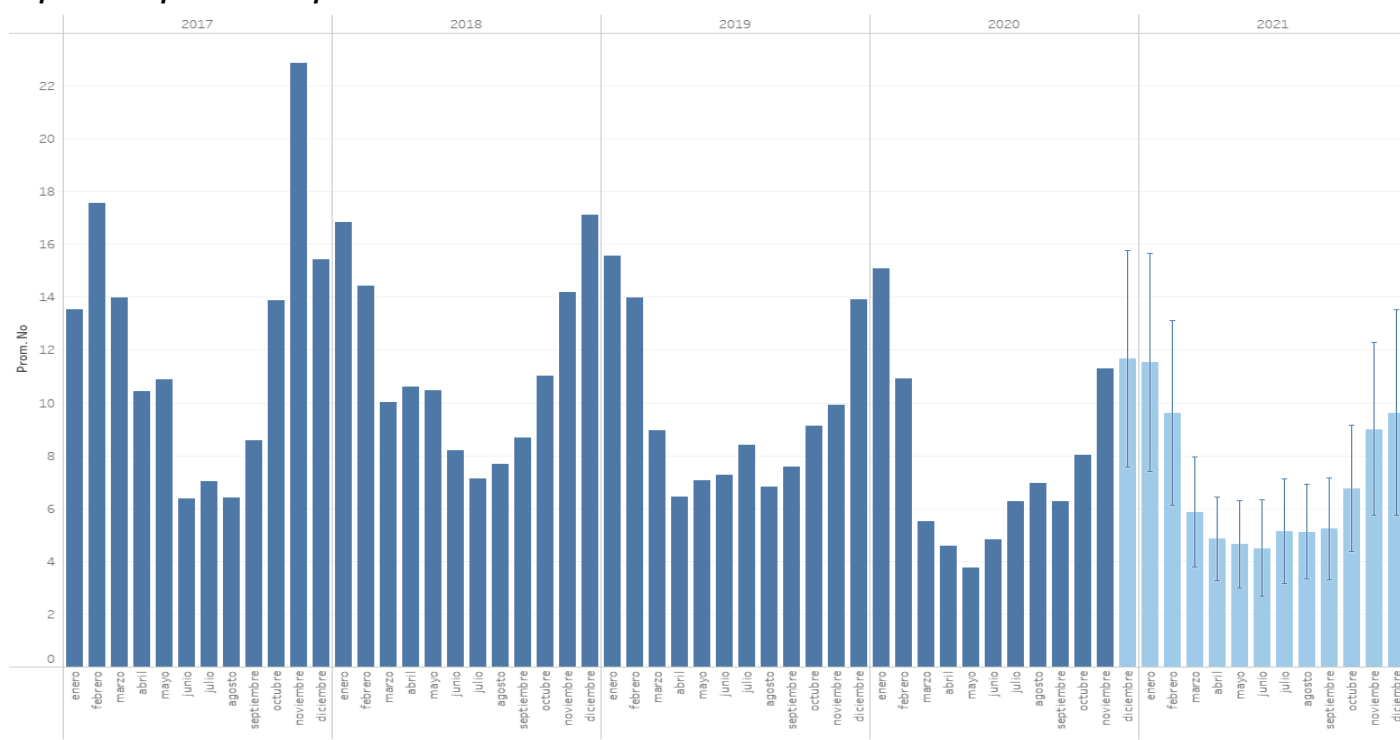
- Los niveles de ozono parecen ser más altos durante los meses de **primavera y verano** (marzo a agosto) y más bajos en los meses de **invierno** (diciembre a febrero).
- Este patrón es típico debido a que la formación de ozono troposférico depende de la radiación solar y las temperaturas cálidas, que son más intensas en primavera y verano.



NO (Óxidos de Nitrógeno):

- Los niveles de óxidos de nitrógeno (NO) tienden a ser más altos en los meses de **invierno** (enero y diciembre) y más bajos durante los meses más cálidos (primavera y verano).
- Esto puede deberse a un aumento en las emisiones de vehículos y calefacción durante el invierno, así como a condiciones climáticas como inversiones térmicas que atrapan contaminantes cerca de la superficie.

Capturas de pantalla del pronóstico



Añade los gráficos anteriores a la story

<

INICIO

O3

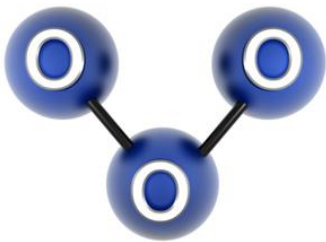
NO_O3

FORECAST O3

CONCLUSIONES

>

STORY INDIVIDUAL JAVI O3



<

INICIO

O3

NO_O3

FORECAST O3

CONCLUSIONES

>

Indicadores Contaminante O3

Name

(Valores múltiples)

Año

(Todo)

Año

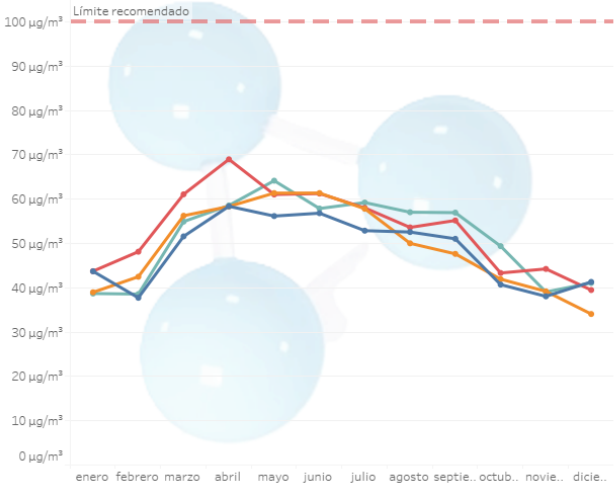
2017

2018

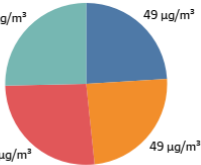
2019

2020

Registro Prom. Mensual en µg/m³

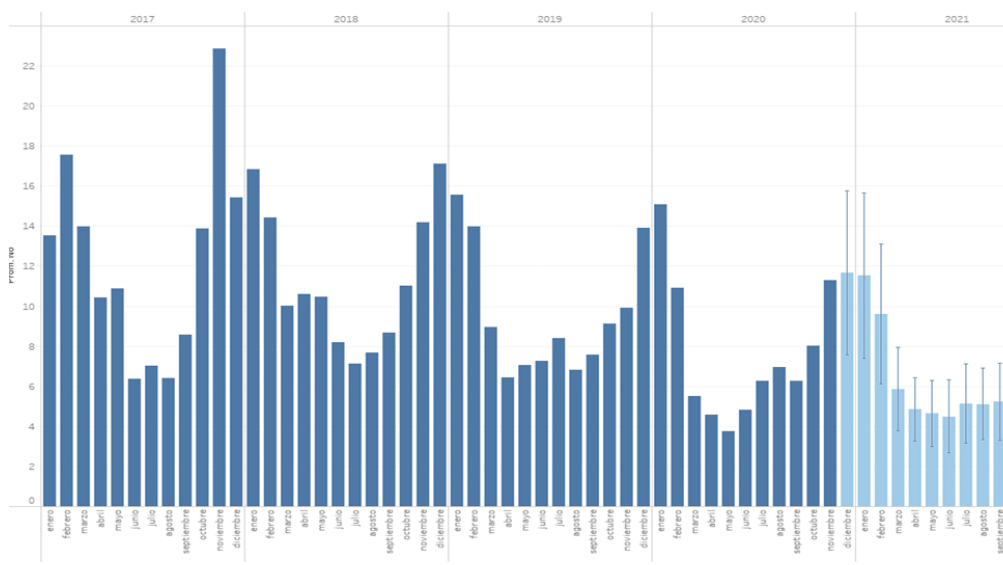
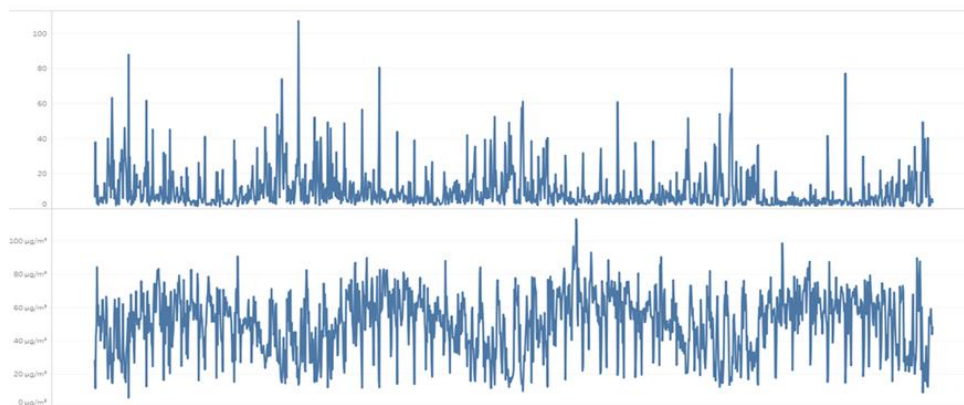


Registro Prom. Anual en µg/m³



Registro Prom. Anual Radiacion

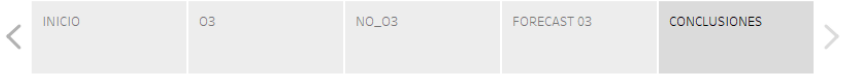
Mes de Fec..	Fecha			
	2017	2018	2019	2020
enero	128,6	151,2	160,1	139,7
febrero	167,8	161,5	191,2	186,8
marzo	214,3	207,6	232,8	157,5
abril	204,6	227,6	215,3	202,6
mayo	258,9	241,1	266,2	268,1
junio	261,4	258,0	279,9	280,3
julio	242,8	256,4	273,8	262,3
agosto	219,0	228,0	239,6	257,3
septiembre	205,6	210,2	211,1	211,8
octubre	174,9	146,6	177,2	179,1
noviembre	154,1	125,7	150,7	151,0
diciembre	151,6	138,0	140,1	155,4



Añade una página de inicio y conclusiones propias.

Según el análisis de los gráficos, se prevé que las concentraciones de NO continúen incrementándose debido a factores como el aumento del tráfico vehicular, la expansión industrial y la dependencia persistente de combustibles fósiles. En cuanto al O₃, el cambio climático, asociado con temperaturas más altas, podría favorecer su formación, especialmente en los meses de verano.

Capturas de pantalla de las conclusiones



Si no se toman medidas para reducir las emisiones de precursores del ozono (como óxidos de nitrógeno y compuestos orgánicos volátiles), es probable que los picos en los meses de mayor radiación solar sigan superando los límites recomendados, especialmente con el impacto del cambio climático, que podría aumentar la radiación solar incidente.

Es fundamental implementar políticas ambientales más estrictas para regular las fuentes de contaminación que contribuyen a los precursores del ozono, especialmente en primavera y verano.

Un monitoreo continuo y más granular del O3, junto con la radiación, permitirá evaluar si las medidas adoptadas son efectivas para reducir los niveles de este contaminante.